

황의 친핵성 치환반응 (제10보).
염화페닐메탄술포닐의 가용매분해반응

李益春 · 金旺起*

仁荷大學校 理科學 化學科

*全南大學校 師範大學 科學教育科

(1977. 10. 6 接受)

Nucleophilic Displacement at Sulfur Center (X).
Solvolysis of Phenylmethanesulfonyl Chloride

Ikchoon Lee and Wang Ki Kim*

Department of Chemistry, Inha University, Incheon, Korea

*Department of Science Education, Chonnam National University,

Kwangju, Korea

(Received Oct. 6, 1977)

要約 메탄올-물, 에탄올-물, 아세톤-물 및 아세토니트릴-물의 二成分 混合溶媒에서 염화페닐메탄술포닐의 가용매분해반응을 速度論적으로 研究하였다.

反應速度는 反陽性子溶媒에서 보다 陽性子溶媒에서 더 빨랐으며, 이온化能力에 對한 反應速度의 感度 즉 Winstein 圖示의 m 와 轉移狀態의 溶媒和數는 陽性子溶媒에서 훨씬 작았다. 이것은 陽性子溶媒의 水素結合溶媒和에 依한 初期狀態의 安定化로서 생각할 수 있다. 反應은 모든 溶媒系에 있어서 轉移狀態의 結合形成이 結合破壞를 앞지르는 S_N2 메카니즘으로 일어난다 할 수 있다.

ABSTRACT. The kinetics of phenylmethanesulfonyl chloride in methanol-water, ethanol-water, acetone-water and acetonitrile-water has been investigated.

The rate was faster in protic solvents than in aprotic solvents while susceptibility of rate to the ionizing power, *i.e.*, m of the Winstein plot and solvation number of the transition state were much smaller in protic solvents.

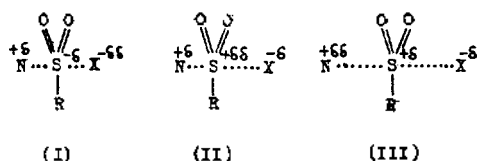
This was considered in the light of initial state stabilization by hydrogen-bonding solvation of the protic solvents. It was concluded that the reaction proceeds by an S_N2 mechanism in which bond-formation precedes bond-breaking at the transition state in all solvent systems.

序 論

염화페닐메탄술포닐, $\text{PhCH}_2\text{SO}_2\text{Cl}$ 은 황原子에
서의 친핵성 치환으로 가용매분해된다.¹ 술포닐

化合物의 친핵성 치환反應에 對해서는 S_N2 메
카니즘²과 添加-除去(S_A2)메카니즘³이 提案되어
있으나 前者가 더 妥當性있는 것으로 생각된다.²
 S_N2 메카니즘은 S_A2 에 비해 훨씬 簡單할 뿐 아

나라 모든 實驗 事實을 滿足스럽게 說明할 수가 있다. 黃原子에서의 S_N2 反應도 炭素原子에서 처럼 結合-形成(bond-formation)이 거의 完成되고 結合-破壞(bond-breaking)가 아직 始初段階인 것, (I)에서부터 反對로 結合-破壞가 結合-形成을 훨씬 앞지른 것, (III)에 이르기까지 程度의 差가 다른 一連의 轉移狀態를 생각할 수가 있다.



(I)에서 (III)으로 갈수록 結合-破壞가 結合-形成을 앞지르게 되며 따라서 黃原子에는 陽電荷가 離脫基, X에는 陰電荷가 漸漸 偏在化 된다. (I)은 “Associative S_N2 ”, 또는 “tight” 轉移狀態라 불리며 親核體로부터 傳達된 電子는 아직 X에 傳達되지 못하고 黃原子上에 모여있는 狀態이며 置換基 R이, 이 電子를 받아드리는 能力이 클수록(電子吸引性이 強할수록) 安定化되며 反應速度는 빨라진다. (III)은 “Dissociative S_N2 ” 또는 “loose” 轉移狀態라 불리며 離脫基X가 電子를 相當히 크게 끌어 당겨 S原子는 強하게 陽電荷를 띄게 된다. 따라서 R이 電子를 내놓는 能力이 클수록(電子供與性이 強할수록) 이 轉移狀態를 安定化시키며 反應速度는 빨라진다. (II)에서는 N의 電子가 X로 傳達되기는 하였으나 結合-破壞가 若干 結合-形成을 앞질러 S原子는 若干의 陽電荷를 띄고 있는 狀態이다. 여기서는 R의 電子供與性이 轉移狀態安定化에 미치는 影響이 (III)에서보다 훨씬 작다. (III)이 極端의 으로 進行된 끝이 S_N1 형 메카니즘이며 술포늄 이온이 形成된다.

어떠한 S_N2 轉移狀態가 이 轉移狀態 스펙트럼 (I)~(III)의 어디에 位置하느냐 하는 것은 溶媒和, 荷電의 程度, 非結合相互作用 및 結合에너지들 사이의 綜合的인 效果로 決定된다. S, X 및 N에 電荷가 形成되는 過程은 轉移狀態에 너지를 增加시키는 結果를 가져오므로 이 電荷를 非偏在化(delocalize)시킴으로서 轉移狀態를 安定化시킬 수 있다. 이것은 비단 上記한 바와

같은 S上的 電荷에 限한 것이 아니며 N이나 X에서도 마찬가지로 適用된다. 즉 一例로 만일 親核體 N이 아닐린이라면 p - OCH_3 基를 가진 아닐린은 아닐린窒素原子上에 形成되는 陽電荷를 잘 分散(非偏在化)시킬 수 있으므로 (I)형의 轉移狀態를 만들기 쉬워진다. 또 X가 電子끄는기를 가진 것이라면 陰電荷를 잘 分散, (非偏在化)시킬 수 있어 (III)형의 轉移狀態 形成이 쉬워진다. 이 電荷分散이 單純한 極性(polar)效果에 依하지 않고 π -共軛계이선으로 이루어진다면 越等하게 그 效果는 커지고 훨씬 安定하게 된다. 溶媒和는 電荷形成을 容易하게 하므로 (III)은 陽性 子溶媒에서 가장 有利해지며, 反對로 (I)은 極性 反陽性 子溶媒에서 有利하다.

本 研究에서는 메탄올-물, 에탄올-물, 아세톤-물 및 아세토니트릴-물 混合溶媒系에서 $PhCH_2SO_2Cl$ 의 加溶媒分解反應을 速度論의 으로 다루었으며 溶媒系 變化에 따르는 轉移狀態 變化와, 아울러 $PhCH_2$ 基로 말미암은 메카니즘의 變化를 살펴보았다.

實 驗

1. 試藥 및 機器. $PhCH_2SO_2Cl$ 은 東京化成工業株式會社製물 石油에테르로 再結晶하였으며 各溶媒는 脫水劑로 脫水(아세톤은 無水鹽化칼슘, 아세토니트릴은 P_2O_5 로 脫水, 에탄올, 메탄올은 生石灰로 一次脫水시킨後 마그네슘으로 2次脫水)시킨後 分別蒸溜하였다.

물은 蒸溜水에 $KMnO_4$ 를 加하여 再蒸溜하였다. 電氣傳導度브릿지는 Beckmann Model RC-18A를 使用하였다.

2. 反應速度常數의 決定. 反應은 類似一次로 進行시켜 前報³와 같은 方法으로 速度常數를 求하였다.

3. 活性化파라미터의 計算. ΔH^\ddagger 와 ΔS^\ddagger 는 다음式에 依하여 計算하였다.

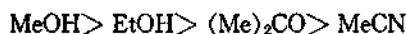
$$k = \frac{K_B T}{h} e^{-\Delta F^\ddagger/RT} = \frac{K_B T}{h} e^{-\Delta H^\ddagger/RT} e^{\Delta S^\ddagger/R}$$

이 式을 利用하여 計算된 값들을 Table.4에 綜合하였다.

結果 및 檢討

Table 1에 네가지 混合溶媒系에서의 鹽化메닐 메탄술포닐, PhCH₂SO₂Cl의 加溶媒分解反應 速度常數를 收錄하였다. 어느 경우에나 물 含量이 增加하면 速度는 增加하고 있다. 이 反應은 ionogenic reaction 이므로 誘電常數가 큰 물이 添加될 수록 速度가 빨라지는 것은 當然하다. 팔호 안에 나타낸 鹽化벤젠술포닐(PhSO₂Cl)의 速度常數⁵와 比較하면 速度가 S와 Ph 基 사이에 메틸렌-CH₂-가 挿入되므로서 훨씬 減少함을 알 수

있고 速度差는 물 含量 增加와 더불어 더욱 벌어진다. 溶媒系 變化에 따르는 速度變化를 보면 速度크기順이 다음과 같고



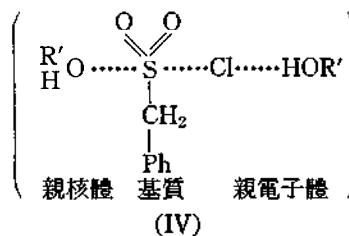
誘電常數의 크기 順⁶ MeCH > MeOH > EtOH > (Me)₂CO와 一致하지 않는다(Table 2). 一般으로 反陽性子溶媒에서 보다 陽性子溶媒에서 速度가 큰 것은 轉移狀態에서 溶媒의 水素結合 能力이 離脫基의 結合-破壞를 돕기 때문이며 Swain의 Push-Pull 메카니즘⁷ (IV)이 適用됨을 뜻한다.

Table 1. Solvolysis rate constants of phenylmethanesulfonyl chloride in binary mixtures (*k* × 10⁵ sec⁻¹).

Solvents	Temp. (°C)	Water percentage (v/v)					
		0%	10%	20%	30%	40%	50%
MeOH	20		1.54	2.36	3.25	4.00	5.38
	25	1.17	2.48	3.84	5.24	7.46	8.39
	30	1.58	4.05	6.26	8.50	11.5	14.3
	35		6.22	9.47	13.3	15.5	18.2
EtOH	20		0.660	1.46	1.91	2.72	3.47
	25		1.16	2.52	3.42	4.37	6.26
	30	0.640	1.69	3.58	4.90	6.91	9.41
	35	0.982	2.92	6.66	8.52	10.7	15.6
MeCN	20		(0.591)	0.401(1.92)	0.63(3.84)	0.86(6.65)	1.14(11.5)
	25		0.187	0.680	1.11	1.57	2.07
	30		0.240(1.36)	0.850(4.73)	1.60(9.41)	2.30(16.6)	3.02(28.8)
	35		0.402	1.65	2.41	4.29	5.11
(Me) ₂ CO	20		0.279	0.651(1.70)	1.13(4.29)	1.87(9.45)	2.71(16.9)
	25		0.449	1.07	1.75	2.84	4.38
	30		0.620(0.96)	1.45(3.72)	2.49(9.50)	4.19(19.6)	6.37(40.3)
	35		1.08	2.87	4.35	6.32	9.11

Table 2. Dielectric constants ε (25°C) of various solvents.

Solvent	ε
Water	78.5
Methanol	32.6
Ethanol	24.3
Acetonitrile	36.2
Acetone	20.7



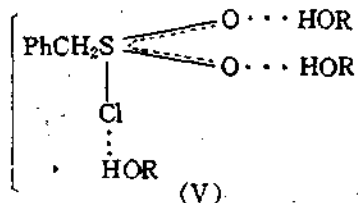
여기서 R'는 -H, -CH₃ 또는 -C₂H₅이며 親

電子體가 Cl과 水素結合을 이루므로서 序論에서 說明한 것과 같이 Cl에 形成되는 陰電荷를 分散시켜주는 구실을 담당하는 것이다. 이 效果는 程度의 差는 있어도 모든 메카니즘, (I)~(III)에 共通되는 轉移狀態 安定化 效果이다.

Fig. 1은 $\log k$ 對 溶媒의 離子化 能力 Y 를 그린 Winstein 圖示⁸ $\log k/k_0 = mY$ 이다. 參考로 PhSO_2Cl 에 對한것을⁵ 함께 나타내었다. 一般으로 기울기 m 은 $\text{PhCH}_2\text{SO}_2\text{Cl}$ 의 것이 PhSO_2Cl 의 것보다 작으며 모두 $m < 0.3$ 이다. 各 溶媒系에 對한 m 값의 크기 順位는 $\text{MeCN} > (\text{Me})_2\text{CO} > \text{EtOH} > \text{MeOH}$ 이며 反應速度의 順位와 正反對이다. m 값의 크기로 보아 모두 S_N2 反應에 屬함을 알 수 있고⁹ 크기 順位로 보아서는 MeCN 에서 가장 結合-破壞가 크고 MeOH 에서 가장 작은 것으로 解析된다. 그러나 이것은 앞서 論議한 親電子體의 pulling 效果를 考慮할 때 矛盾된다. MeOH 의 水素結合能이 가장 크므로 結合-破壞는 가장 MeOH 에서 커야 할 것이다. 또 한편 $\log k$ 對 $\log[\text{H}_2\text{O}]$ 의 Fig. 2 (Kivinen 圖示, $\log k = n\log[\text{H}_2\text{O}] + \text{const.}$)¹⁰를 보면 기울기 n 값도 m 값과 같은 傾向이다. 즉 $\text{PhCH}_2\text{SO}_2\text{Cl}$ 의 것이 PhSO_2Cl 의 것보다 작고 모두 $n \leq 2$ 이며 溶媒系에서의 n 값의 크기도 m 값의 크기 順位와 同一하다. 이 n 값 亦是 S_N2 메카니즘 領域에 屬하며¹⁰ 陽性子溶媒에서는 特히 1이하의 至極히 작은 값을 나타낸다. 이 n 값은 大體로 轉移狀態

溶媒和에 參與하는 溶媒分子數를 나타냄으로⁹ MeOH 의 分子數가 가장 작다는 것은 亦是 (IV)로 보아 矛盾되는 일이다.

원래 술폰化合物은 極성이 크므로 初期狀態에서 相當한 溶媒和가 일어날 것으로 期待되며 特히 陽性子溶媒에서는 (V)型的 安定化가 이루어질 수 있다.



初期狀態에서 많은 溶媒分子로 溶媒和되어 있다면 轉移狀態로 되면서 部分荷電을 가지더라도 溶媒分子들의 再編成이 相對적으로 크지 않을 것이며, 따라서 溶媒의 離子化能(Y)에 대한 感

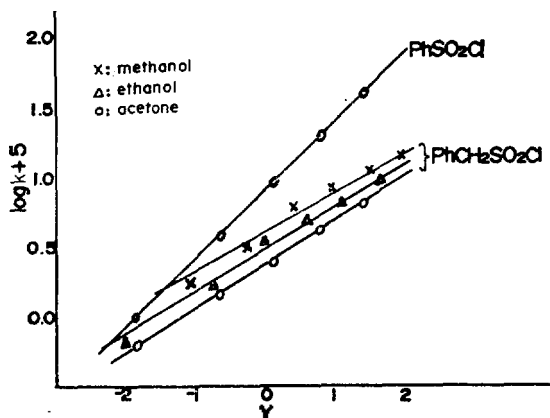


Fig. 1. Grunwald-Winstein plots at 30°C for the solvolysis of $\text{PhCH}_2\text{SO}_2\text{Cl}$.

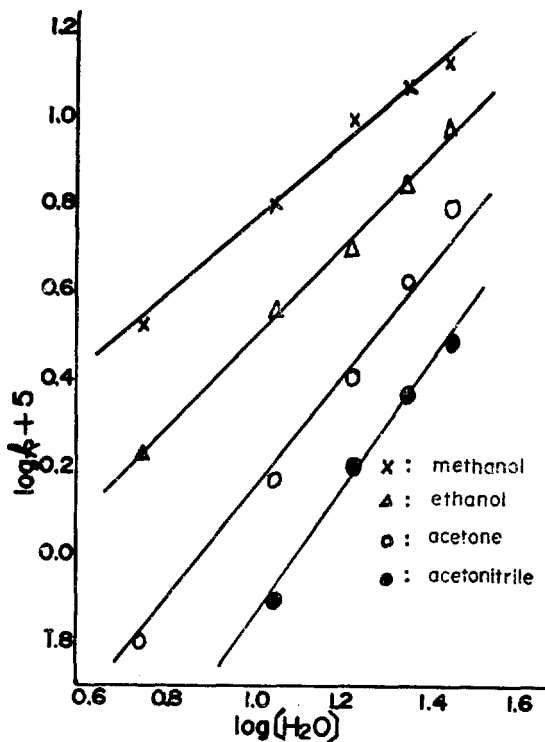


Fig. 2. Plots of $\log k$ vs. $\log [\text{H}_2\text{O}]$ at 30°C for the solvolysis of $\text{PhCH}_2\text{SO}_2\text{Cl}$.

Table 3. Rate ratio, $r = \frac{k_{MeOH}}{k_{EtOH}}$, and polar substituent constant σ^* .

R	RSO ₂ Cl				(CH ₃) ₃ CCl	PhCHCH ₂ Cl
	PhCH ₂	CH ₃	CH ₂ CH ₂	C ₆ H ₅		
$r = \frac{k_{MeOH}}{k_{EtOH}}$	2.47	3.04	3.44	4.92	8.45	11.6
σ^*	+0.215	0.00	-0.100	+0.600		

Table 4. Activation parameters for solvolysis of PhCH₂SO₂Cl in binary aqueous mixtures.

Activation parameters	Water %	Solvents			
		MeCH	(Me) ₂ CO	EtOH	MeOH
ΔH^\ddagger (kcal)	10	13.4	13.4	16.0	16.5
	20	12.7	13.6	15.2	16.6
	30	15.4	13.4	16.0	16.6
	40	16.1	13.6	16.0	18.4
	50	16.2	14.5	17.0	16.9
ΔS^\ddagger (e. u.)	10	40.1	38.1	27.6	24.4
	20	39.9	36.0	28.8	23.0
	30	29.7	35.6	25.5	22.5
	40	26.7	33.1	24.9	16.0
	50	24.5	30.2	20.9	20.4

도가 작고, 용매와수의 변화(n)도 작을 것이다. 특히 이것은 轉移狀態에서 結合-破壞가 크게 進行되지 않은 (I) 또는 (II)型에서 그러하다. 同一溶媒系에서 보면 一般으로 n 값과 m 값의 크기는 PhCH₂SO₂Cl < PhSO₂Cl 이며 또 p-NO₂PhSO₂Cl < PhSO₂Cl < p-CH₃OPhSO₂Cl¹¹이다. 이 값들의 크기는 轉移狀態에서의 結合-破壞의 程度를 나타내는 것으로 解析되며 PhCH₂SO₂Cl 은 (I) 또는 (II)型에 가까운 轉移狀態를 가지고 反應함을 알 수 있다.

Table 3을 보면 몇가지 化合物의 加에탄올分解速度常數 k_{MeOH}와 加에탄올分解速度常數 k_{EtOH}의 비 $r = \frac{k_{MeOH}}{k_{EtOH}}$ 가 주어져 있다. 이 비의 r의 크기는 轉移狀態에서의 結合-破壞의 程度를 나타내는 것으로 解析되고 있다.¹² 즉 S_N1 메카니즘으로 反應하는 鹽化 t-부틸과 鹽化 α-페네틸은

각각 8.45 및 11.6이라는 큰 값을 가지나¹² 술포닐化合物의 값들은 이보다 훨씬 작다. 술포닐化合物의 경우 RSO₂Cl에서의 R의 變化에 따르는 비 r의 變化를 보면 R=Ph인것을 除外하고는 Taft의 極性置換常數 σ^* 값¹³의 順이며 電子供與性이 가장 작은 PhCH₂의 비가 가장 작다. 이것은 아마도 (II)型的 轉移狀態에서 S에 形成되는 陽電荷의 分散能때문인듯 하다. R=Ph의 경우는 앞서도 說明한 바와 같이 S에 벤젠고리가 直接 連結되어 電荷를 conjugative dispersion 할 수 있기 때문에 陽電荷의 分散能이 越等히 큰 까닭으로 볼 수 있다. R=PhCH₂일때는 S와 Ph基 사이에 메틸렌基 -CH₂-가 挿入되어 cojnugative dispersion이 不可能해지며 純粹한 極性效果만이 作用하게 된다.

Table 4의 活性化파라미터를 보면 大體로 陽性子溶媒에서 ΔH^\ddagger 값이 反陽性子溶媒에서 보다

더 크고 $-\Delta S^*$ 값은 反陽性子溶媒에서 더 크다. 이것 또한 陽性子溶媒에서의 初期狀態 安定化效果때문이라 할 수 있다. 즉 初期狀態에서의 溶媒和가 크면 轉移狀態로 옮겨갈 때의 溶媒和 分子數의 增加는 相對的으로 크지 않을것이므로 엔트로피減少($-\Delta S^*$)는 작아지고 또 한편 溶媒和는 初期狀態를 安定化시키므로 親核體의 接近이 어려워져서 ΔH^* 는 커지는 傾向을 나타낼 것이다. 勿論 이러한 趨勢가 初期狀態 安定化的 明白한 證據는 될 수가 없다.

反陽性子용매인 MeCN과 (Me)₂CO 中에서의 속도는 대체로 유전상수가 큰 MeCN에서 오히려 작고 ΔH^* 값은 크다. 이것 역시 極성이 큰 基質이(초기상태에서) 유전상수가 큰 MeCN 혼합물에서 어느정도 安定化되기 때문인것으로 생각된다.

結論的으로 여러가지 實驗資料를 綜合해 볼 때 鹽化페닐메탄술포닐 PhCH₂SO₂Cl 이 二成分水溶液에서 加溶媒分解될때는 比較的 "tight" 한 轉移狀態를 거치며 σ^* 값과의 相關性으로 보아 (I)型보다는 (II)型에 더 가까운 轉移狀態를 갖는다. 또 이 술포닐化合物은 反應前 初期狀態가 陽性子溶媒中에서 溶媒和로 安定化되어 있다.

REFERENCE

1. J. F. King and T. Durst, *J. Amer. Chem. Soc.*, **87**, 5684 (1965).
2. O. Rogne, *J. Chem. Soc.*, (B) 1294 (1968); *ibid.*, 1855 (1971); *ibid.*, 489 (1972).
3. L. J. Stangeland, L. Senator and E. Cinffarin, *J. Chem. Soc. Perkin II*, 852 (1972); E. Ciuffarin and L. Senator, *J. Chem. Soc.*, (B), 1680 (1970).
4. R. Ta-Shma and Z. Rappoport, *J. Amer. Chem. Soc.*, **99**, 1845 (1977); R. W. Alder, R. Baker and J. M. Brown, "Mechanism in Organic Chemistry," Wiley-Interscience London, 1971. P. 194.
5. I. Lee and W. K. Kim, *J. Korean Chem. Soc.*, **17**, 163 (1973); **18**, 8 (1974).
6. C. Reichardt, "Lösungsmittel-Effekte in der Organische Chemie," P. 162~163, Verlag Chemie, Weinheim, Germany, 1973.
7. C. G. Swain and Coworkers, *J. Amer. Chem. Soc.*, **70**, 1119, 2989 (1948); **73**, 2813 (1951); **75**, 141 (1953); **77**, 3731 (1955).
8. E. Grunwald and S. Winstein, *ibid.*, **70**, 846 (1948); A. H. Fainberg and S. Winstein *ibid.*, **78**, 2770 (1956).
9. R. K. Mohanty and R. E. Robertson, *Can. J. Chem.*, **55**, 1319 (1977).
10. A. Kivinen, *Acta Chem. Scand.*, **19**, 845 (1965).
11. F. E. Jenkins and A. N. Hambly, *Aust. J. Chem.*, **14**, 190 (1961).
12. R. Foon and A. N. Hambly, *ibid.*, **24**, 713 (1971).
13. R. W. Taft, Jr., in "Steric Effects in Org. Chem.," Chapt. 13, Ed. by M. S. Newman, John Wiley, N. Y., 1956.